

УДК 629.735.33.015

## **Методики оценок вращательных производных сил и моментов, действующих на модель самолета**

**Головкин М.А.\*, Ефремов А.А.\*, Махнев М.С.\***

*Центральный аэрогидродинамический институт имени*

*профессора Н.Е. Жуковского,*

*ул. Жуковского, 1, Жуковский, Московская область, 140180, Россия*

*[\\*spintest@tsagi.ru](mailto:*spintest@tsagi.ru)*

### **Аннотация**

Приведены методики оценок производных от коэффициентов аэродинамических сил и моментов по компонентам угловой скорости на основе экспериментов на установке, осуществляющей вращение модели самолета с постоянной угловой скоростью, коллинеарной вектору скорости набегающего потока аэродинамической трубы. Даны примеры определения вращательных производных для модели пассажирского самолёта в широком диапазоне углов атаки.

**Ключевые слова:** силы и моменты аэродинамические, компоненты угловой скорости, вращательные производные.

### **Введение**

Для построения простейшей линейной математической модели аэродинамики, а также определения устойчивости движения самолёта и применения некоторых

критериев устойчивости [1] необходимо знание первых производных коэффициентов аэродинамических сил и моментов по компонентам угловой скорости в связанной с самолётом прямоугольной декартовой системе координат. Результаты экспериментов с подвижными моделями, проводимых в аэродинамических трубах (АДТ), не позволяют определять такие производные непосредственно. Имеется ряд работ [2–9], посвященных определению вращательных производных на основе расчетных и экспериментальных исследований. Однако работ, позволяющих проводить оценку первых производных от коэффициентов сил и моментов по компонентам угловой скорости на основе экспериментов в аэродинамической трубе с моделью самолета на установке, осуществляющей ее вращение с постоянной угловой скоростью, коллинеарной скорости набегающего потока, неизвестно. Решению этой проблемы и посвящена данная статья.

Здесь не учитывается такой эффект, как «аэродинамическая несимметрия», которая может возникать из-за несимметричного развития отрывных явлений на симметричном крыле или фюзеляже [1, 10–14], поскольку на реальном летательном аппарате (ЛА) она может существенно отличаться.

Поэтому в представленных ниже выкладках и результатах предполагается, что аэродинамические характеристики модели симметричны относительно плоскости симметрии модели, а их производные не терпят разрыва. Для реализации этого исходные данные экспериментальных исследований предварительно выглаживаются и симметризируются, в том числе с использованием работы [15].

В данной методике учитываются наиболее значительные эффекты интерференции, в том числе на больших углах атаки, вертикального и горизонтального оперения с полной аэродинамической компоновкой, для чего проводятся испытания полной модели и модели без вертикального и горизонтального оперения.

В целом методика оценки вращательных производных построена таким образом, чтобы максимально использовать экспериментальные данные и лишь при необходимости привлекать упрощенные расчеты аэродинамических характеристик элементов модели самолета. Это позволяет, в рамках представленного подхода, максимально полно учитывать интерференцию элементов.

Представленные ниже результаты не претендуют на решение проблемы создания полной модели аэродинамики самолета на больших углах атаки. Уточнение оценок вращательных производных возможно с привлечением дополнительных видов испытаний в АДТ и с учетом аэродинамических характеристик ЛА, полученных в реальных условиях полета.

## **1. Постановка задачи и некоторые исходные соотношения**

По результатам испытаний на вращающейся установке [1] определяются значения проекций главных векторов силы и момента на оси связанной с моделью системы координат  $oxyz$ , с началом, расположенным в точке, соответствующей

центру масс самолёта:  $F_i(\alpha, \beta, \omega)$ ,  $M_i(\alpha, \beta, \omega)$ ,  $i = x, y, z$ , и находятся соответствующие коэффициенты:

$$c_i(\alpha, \beta, \bar{\omega}) = F_i / (qS), \quad m_i(\alpha, \beta, \bar{\omega}) = M_i / (qSL), \quad (1.1)$$

где  $\alpha$  – угол атаки модели;  $\beta$  – её угол скольжения;  $S$  – площадь крыла;  $L$  – характерный размер, за который при  $i = x, y$  принимается размах крыла  $l$ , при  $i = z$  – средняя аэродинамическая хорда крыла  $b_a$ ;  $q = \rho V^2 / 2$  – скоростной напор,  $\rho$  – плотность воздуха;  $V$  – скорость потока;  $\bar{\omega} = \omega \cdot l / (2V)$  – «приведенный» вектор угловой скорости вращения,  $\bar{\omega} = \pm |\bar{\omega}|$ ,  $\bar{\omega} > 0$  – соответствует вращению по часовой стрелке при виде навстречу набегающему потоку.

В предположении малости и линейности приращений коэффициентов  $c_i$ ,  $m_i$  ( $i = x, y, z$ ) при малом изменении  $\bar{\omega}$  с точностью до малых более высокого порядка определяются вращательные производные от (1.1) по полной безразмерной угловой скорости по формуле:

$$\partial f_i / \partial \bar{\omega} = f_i^{\bar{\omega}}(\alpha, \beta) \approx [f_i(\alpha, \beta, +\bar{\omega}_0) - f_i(\alpha, \beta, -\bar{\omega}_0)] / (2\bar{\omega}_0), \quad (1.2)$$

где  $f_i = c_i$  или  $f_i = m_i$ , ( $i = x, y, z$ );  $\bar{\omega}_0$  – некоторая величина  $\bar{\omega}$  в эксперименте на вращающейся установке (как правило,  $\bar{\omega}_0 \leq 0.2$ ).

Введем безразмерные проекции угловых скоростей следующим образом:

$$\bar{\omega}_x = \omega_x l / (2V), \quad \bar{\omega}_y = \omega_y l / (2V), \quad \bar{\omega}_z = \omega_z b_a / V. \quad (1.3)$$

Для производных (1.2) от функций (1.1) по полной безразмерной угловой скорости запишем в соответствии с правилами дифференцирования уравнения:

$$f_i^{\bar{\omega}_x} \cos \alpha \cos \beta - f_i^{\bar{\omega}_y} \sin \alpha \cos \beta + 2\bar{b}_a f_i^{\bar{\omega}_z} \sin \beta = f_i^{\bar{\omega}}, \quad i = x, y, z, \quad (1.4)$$

незамкнутые относительно искомых величин производных, где  $\bar{b}_a = b_a/l$ .

Для нахождения этих производных вводятся и используются дополнительные соотношения, предположения и экспериментальные или расчетные материалы, специфические для каждого компонента.

Итак, задача состоит в том, чтобы, зная производные  $c_i^{\bar{\omega}}$ ,  $m_i^{\bar{\omega}}$  ( $i = x, y, z$ ), определить производные  $c_i^{\bar{\omega}_j}$ ,  $m_i^{\bar{\omega}_j}$  ( $i, j = x, y, z$ ).

Так как в рассматриваемом нами случае  $\beta=0$  и, ограничиваясь рассмотрением симметричного относительно плоскости  $xoy$  самолета, можно положить:  $m_x^{\bar{\omega}_z} = m_y^{\bar{\omega}_z} = 0$ . Как показывает опыт со многими моделями для  $|\beta| < 10 \div 20^\circ$  при любых углах атаки величины  $m_z^{\bar{\omega}_x}$  и  $m_z^{\bar{\omega}_y}$  также очень малы.

Производная  $m_z^{\bar{\omega}_z}$  оценивается на основе формулы (1.4), если имеются результаты испытаний при некоторых  $\beta \neq 0$ , в предположении, что  $m_z^{\bar{\omega}_x} \approx m_z^{\bar{\omega}_y} \approx 0$ :

$$m_z^{\bar{\omega}_z} = m_z^{\bar{\omega}}(\alpha, \beta) / (2\bar{b}_a \sin \beta), \text{ или } m_z^{\bar{\omega}_z} = [m_z^{\bar{\omega}}(\alpha, +\beta) - m_z^{\bar{\omega}}(\alpha, -\beta)] / (4\bar{b}_a \sin \beta). \quad (1.5)$$

Производные от коэффициента продольной силы, как показывают элементарные оценки, являются малыми:  $c_x^{\bar{\omega}_x} \approx c_x^{\bar{\omega}_y} \approx c_x^{\bar{\omega}_z} \approx 0$ , они для оценки устойчивости движения самолёта не используются и поэтому в дальнейшем не рассматриваются. Для симметричной модели, и на это указывают многочисленные экспериментальные данные, также можно считать, что при любых  $\alpha$  в пределах  $|\beta| < 15 \div 20^\circ$ :  $c_y^{\bar{\omega}_x} \approx c_y^{\bar{\omega}_y} \approx c_y^{\bar{\omega}_z} = 0$ .

Аналогично (1.5) оценивается производная  $c_y^{\bar{\omega}_z}$ :

$$c_y^{\bar{\omega}_z} = c_y^{\bar{\omega}}(\alpha, \beta)/(2\bar{b}_a \sin \beta), \text{ или } c_y^{\bar{\omega}_z} = [c_y^{\bar{\omega}}(\alpha, +\beta) - c_y^{\bar{\omega}}(\alpha, -\beta)]/(4\bar{b}_a \sin \beta). \quad (1.6)$$

Итак, осталось определить производные:  $c_z^{\bar{\omega}_x}$ ,  $c_z^{\bar{\omega}_y}$ ,  $m_x^{\bar{\omega}_x}$ ,  $m_x^{\bar{\omega}_y}$ ,  $m_y^{\bar{\omega}_x}$ ,  $m_y^{\bar{\omega}_y}$ .

Заметим, что угловая скорость вращения на вращающейся установке совпадает с продольной компонентой угловой скорости в скоростной системе координат:  $\omega \equiv \omega_{xa}$ . При  $\beta=0$  связь между компонентами угловой скорости и производными по этим компонентам в скоростной и связанной системах координат выражается соотношениями:

$$\begin{cases} \bar{\omega}_{xa} = \bar{\omega}_x \cos \alpha - \bar{\omega}_y \sin \alpha, \\ \bar{\omega}_{ya} = \bar{\omega}_x \sin \alpha + \bar{\omega}_y \cos \alpha, \\ \bar{\omega}_x = \bar{\omega}_{xa} \cos \alpha + \bar{\omega}_{ya} \sin \alpha, \\ \bar{\omega}_y = -\bar{\omega}_{xa} \sin \alpha + \bar{\omega}_{ya} \cos \alpha, \end{cases} \quad \begin{cases} f^{\bar{\omega}_{xa}} = f^{\bar{\omega}_x} \cos \alpha - f^{\bar{\omega}_y} \sin \alpha, \\ f^{\bar{\omega}_{ya}} = f^{\bar{\omega}_x} \sin \alpha + f^{\bar{\omega}_y} \cos \alpha, \\ f^{\bar{\omega}_x} = f^{\bar{\omega}_{xa}} \cos \alpha + f^{\bar{\omega}_{ya}} \sin \alpha, \\ f^{\bar{\omega}_y} = -f^{\bar{\omega}_{xa}} \sin \alpha + f^{\bar{\omega}_{ya}} \cos \alpha, \end{cases} \quad (1.7)$$

где  $f$  – любой из рассматриваемых параметров (например,  $m_x$ ,  $m_y$ ,  $c_z$ ).

Последние два соотношения в (1.7) указывают на способ оценки искомых производных:  $c_z^{\bar{\omega}_x}$ ,  $c_z^{\bar{\omega}_y}$ ,  $m_x^{\bar{\omega}_x}$ ,  $m_x^{\bar{\omega}_y}$ ,  $m_y^{\bar{\omega}_x}$ ,  $m_y^{\bar{\omega}_y}$ . Входящие в первые слагаемые в правой части этих соотношений производные  $m_x^{\bar{\omega}_{xa}}$ ,  $m_y^{\bar{\omega}_{xa}}$ ,  $c_z^{\bar{\omega}_{xa}}$  определяется по результатам испытаний на вращающейся установке. Таким образом, задача сводится к оценке производных  $m_x^{\bar{\omega}_{ya}}$ ,  $m_y^{\bar{\omega}_{ya}}$ ,  $c_z^{\bar{\omega}_{ya}}$ , для чего необходимо привлечь дополнительные экспериментальные, теоретические или расчетные данные. Оценку этих производных будем проводить для отдельных элементов самолета, таких как: крыло, вертикальное оперение (ВО), горизонтальное оперение (ГО), фюзеляж, мотогондолы, с последующим их суммированием и, по-возможности, с учетом интерференции элементов.

## 2. Общие выражения для боковых аэродинамических коэффициентов демпфирования вращения ла или его элемента в отсутствии скольжения

Вращение самолета относительно центра масс с угловой скоростью  $\boldsymbol{\omega} = (\omega_x, \omega_y, \omega_z)$  приводит к появлению дополнительной скорости  $\Delta V = (\Delta V_x, \Delta V_y, \Delta V_z)$  движения его элемента, условный центр которого относительно центра масс самолета задан радиус-вектором  $\mathbf{R} = (x, y, z)$ :  $\Delta V = [\boldsymbol{\omega} \times \mathbf{R}]$ , или в проекциях:

$$\Delta V_x = \omega_y z - \omega_z y, \quad \Delta V_y = \omega_z x - \omega_x z, \quad \Delta V_z = \omega_x y - \omega_y x. \quad (2.1)$$

Условный центр элемента – это точка, относительно которой определяются моментные аэродинамические характеристики элемента.

Будем считать, что выражения (2.1) записаны в связанной с самолетом системе координат с центром в точке расположения центра масс. Компоненты суммарной местной скорости в центре рассматриваемого элемента будут равны:

$$\begin{aligned} V_{1x} &= V \cos \alpha \cos \beta + \omega_y z - \omega_z y, \\ V_{1y} &= -V \sin \alpha \cos \beta + \omega_z x - \omega_x z, \\ V_{1z} &= V \sin \beta + \omega_x y - \omega_y x. \end{aligned} \quad (2.2)$$

Местные значения углов атаки  $\alpha_1$  и скольжения  $\beta_1$ , модуля скорости  $V_1$  и скоростного напора  $q_1$  выражаются следующим образом:

$$\alpha_1 = -\arctg \frac{V_{1y}}{V_{1x}}, \quad \beta_1 = \arcsin \frac{V_{1z}}{V_1}, \quad V_1 = \sqrt{\frac{2q_1}{\rho}}, \quad q_1 = \frac{\rho}{2} (V_{1x}^2 + V_{1y}^2 + V_{1z}^2). \quad (2.3)$$

В интересах рассматриваемой задачи выполним линеаризацию полученных выражений по компонентам угловой скорости  $\omega_x$  и  $\omega_y$  при  $\omega_x \rightarrow 0$ ,  $\omega_y \rightarrow 0$ ,

произвольных фиксированных значениях угла атаки  $\alpha$  и скорости набегающего потока  $V$  и при нулевых значениях угла скольжения и продольной компоненты угловой скорости  $\beta = \omega_z = 0$ :

$$\alpha_1 = \alpha + \alpha^{\bar{\omega}_x} \bar{\omega}_x + \alpha^{\bar{\omega}_y} \bar{\omega}_y, \quad \beta_1 = \beta^{\bar{\omega}_x} \bar{\omega}_x + \beta^{\bar{\omega}_y} \bar{\omega}_y, \quad \bar{q}_1 = 1 + \bar{q}^{\bar{\omega}_x} \bar{\omega}_x + \bar{q}^{\bar{\omega}_y} \bar{\omega}_y, \quad (2.4)$$

$$\bar{\omega}_x = \frac{\omega_x}{V} \frac{b_e}{V}, \quad \bar{\omega}_y = \frac{\omega_y}{V} \frac{b_e}{V}, \quad \bar{q}_1 = \frac{q_1}{q}, \quad \bar{q}^{\bar{\omega}_x} = \frac{q_1^{\bar{\omega}_x}}{q}, \quad \bar{q}^{\bar{\omega}_y} = \frac{q_1^{\bar{\omega}_y}}{q}, \quad q = \frac{\rho}{2} (V_x^2 + V_y^2 + V_z^2)$$

где  $b_e$  – характерный линейный размер элемента самолета. Значения частных производных в (2.4) при заданных ограничениях определяются простыми выражениями, полученными дифференцированием (2.3) с учетом (2.2):

$$\alpha^{\bar{\omega}_x} = \bar{z} \cos \alpha, \quad \alpha^{\bar{\omega}_y} = -\bar{z} \sin \alpha, \quad \beta^{\bar{\omega}_x} = \bar{y}, \quad \beta^{\bar{\omega}_y} = -\bar{x}, \quad \bar{q}^{\bar{\omega}_x} = 2\bar{z} \sin \alpha, \quad \bar{q}^{\bar{\omega}_y} = 2\bar{z} \cos \alpha, \quad (2.5)$$

где  $\bar{x} = x/b_e$ ,  $\bar{y} = y/b_e$ ,  $\bar{z} = z/b_e$ .

Перепишем соотношения (2.4), (2.5) в скоростной системе координат, связь которой со связанной системой координат описывается соотношениями (1.7):

$$\alpha_1 = \alpha + \alpha^{\bar{\omega}_{xa}} \bar{\omega}_{xa} + \alpha^{\bar{\omega}_{ya}} \bar{\omega}_{ya}, \quad \beta_1 = \beta^{\bar{\omega}_{xa}} \bar{\omega}_{xa} + \beta^{\bar{\omega}_{ya}} \bar{\omega}_{ya}, \quad \bar{q}_1 = 1 + \bar{q}^{\bar{\omega}_{xa}} \bar{\omega}_{xa} + \bar{q}^{\bar{\omega}_{ya}} \bar{\omega}_{ya}, \quad (2.6)$$

$$\begin{aligned} \alpha^{\bar{\omega}_{xa}} &= \bar{z}, & \alpha^{\bar{\omega}_{ya}} &= 0, & \beta^{\bar{\omega}_{xa}} &= \bar{y} \cos \alpha + \bar{x} \sin \alpha, & \beta^{\bar{\omega}_{ya}} &= \bar{y} \sin \alpha - \bar{x} \cos \alpha, \\ \bar{q}^{\bar{\omega}_{xa}} &= 0, & & & \bar{q}^{\bar{\omega}_{ya}} &= 2\bar{z}. \end{aligned} \quad (2.7)$$

Отметим, что в (2.7)  $\bar{x}$ ,  $\bar{y}$ ,  $\bar{z}$  – по-прежнему безразмерные координаты центра рассматриваемого элемента в связанной системе координат.

Запишем теперь в скоростной системе координат линеаризованные выражения для компонент аэродинамической силы, действующей на элемент самолета при произвольном фиксированном значении угла атаки:



$$F = F_0 + F_0^{\bar{\omega}_{xa}} \bar{\omega}_{xa} + F_0^{\bar{\omega}_{ya}} \bar{\omega}_{ya} + F^\alpha (\alpha^{\bar{\omega}_{xa}} \bar{\omega}_{xa} + \alpha^{\bar{\omega}_{ya}} \bar{\omega}_{ya}) + F^\beta (\beta^{\bar{\omega}_{xa}} \bar{\omega}_{xa} + \beta^{\bar{\omega}_{ya}} \bar{\omega}_{ya}) + F^{\bar{q}} (\bar{q}^{\bar{\omega}_{xa}} \bar{\omega}_{xa} + \bar{q}^{\bar{\omega}_{ya}} \bar{\omega}_{ya}). \quad (2.8)$$

Здесь  $F_0$  – значение компоненты силы при фиксированном значения угла атаки без вращения;  $F_0^{\bar{\omega}_{xa}}, F_0^{\bar{\omega}_{ya}}$  – производные при вращении элемента вокруг его центра (при  $|\mathbf{R}|=0$ ),  $F$  может принимать значения  $X, Y, Z$ .

Так как  $F = q_1 S_e c_F$  ( $S_e$  – площадь элемента,  $c_F$  – безразмерный коэффициент),

то  $F^{\bar{q}_1} = F_0$ , и выражение для силы (2.8) может быть переписано в виде:

$$F = F_0 + [F_0^{\bar{\omega}_{xa}} + F^\alpha \bar{z} + F^\beta (\bar{y} \cos \alpha + \bar{x} \sin \alpha)] \bar{\omega}_{xa} + [F_0^{\bar{\omega}_{ya}} + F^\beta (\bar{y} \sin \alpha - \bar{x} \cos \alpha) + 2F_0 \bar{z}] \bar{\omega}_{ya}. \quad (2.9)$$

Таким образом, из (2.9) следует, что частные производные компонент силы по компонентам угловой скорости в скоростной системе координат будут равны:

$$\begin{aligned} F^{\bar{\omega}_{xa}} &= F_0^{\bar{\omega}_{xa}} + F^\alpha \bar{z} + F^\beta (\bar{y} \cos \alpha + \bar{x} \sin \alpha), \\ F^{\bar{\omega}_{ya}} &= F_0^{\bar{\omega}_{ya}} + F^\beta (\bar{y} \sin \alpha - \bar{x} \cos \alpha) + 2F_0 \bar{z}. \end{aligned} \quad (2.10)$$

Заметим, что эти выражения справедливы также и для коэффициентов компонент аэродинамической силы  $c_x, c_y, c_z$ .

Если считать ЛА симметричным, то можно положить

$c_x^\beta = c_{x0}^{\bar{\omega}_{xa}} = c_{x0}^{\bar{\omega}_{ya}} = c_y^\beta = c_{y0}^{\bar{\omega}_{xa}} = c_{y0}^{\bar{\omega}_{ya}} = c_{z0} = c_z^\alpha = 0$ , и тогда из (2.10) следует, что:

$$\begin{aligned} c_x^{\bar{\omega}_{xa}} &= c_x^\alpha \bar{z}, & c_x^{\bar{\omega}_{ya}} &= 2c_{x0} \bar{z}, & c_y^{\bar{\omega}_{xa}} &= c_y^\alpha \bar{z}, & c_y^{\bar{\omega}_{ya}} &= 2c_{y0} \bar{z}, \\ c_z^{\bar{\omega}_{xa}} &= c_{z0}^{\bar{\omega}_{xa}} + c_z^\beta (\bar{y} \cos \alpha + \bar{x} \sin \alpha), & c_z^{\bar{\omega}_{ya}} &= c_{z0}^{\bar{\omega}_{ya}} + c_z^\beta (\bar{y} \sin \alpha - \bar{x} \cos \alpha), \end{aligned} \quad (2.11)$$

подстрочный индекс «0» у производных от коэффициентов здесь и далее означает, что они взяты при вращении элемента вокруг его центра.

Аналогичные соотношения для аэродинамического момента отличаются от приведенных выше слагаемым  $\Delta \mathbf{M} = -[\mathbf{F} \times \mathbf{R}]$ . Для симметричного ЛА  $m_{x0} = m_x^\alpha = m_{y0} = m_y^\alpha = m_z^\beta = m_{z0}^{\bar{\omega}_{xa}} = 0$ , и формулы для производных примут вид:

$$\begin{aligned}
 m_x^{\bar{\omega}_{xa}} &= m_{x0}^{\bar{\omega}_{xa}} + m_x^\beta (\bar{y} \cos \alpha + \bar{x} \sin \alpha) + c_z^{\bar{\omega}_{xa}} \bar{y} - c_y^{\bar{\omega}_{xa}} \bar{z}, \\
 m_x^{\bar{\omega}_{ya}} &= m_{x0}^{\bar{\omega}_{ya}} + m_x^\beta (\bar{y} \sin \alpha - \bar{x} \cos \alpha) + c_z^{\bar{\omega}_{ya}} \bar{y} - c_y^{\bar{\omega}_{ya}} \bar{z}, \\
 m_y^{\bar{\omega}_{xa}} &= m_{y0}^{\bar{\omega}_{xa}} + m_y^\beta (\bar{y} \cos \alpha + \bar{x} \sin \alpha) + c_x^{\bar{\omega}_{xa}} \bar{z} - c_z^{\bar{\omega}_{xa}} \bar{x}, \\
 m_y^{\bar{\omega}_{ya}} &= m_{y0}^{\bar{\omega}_{ya}} + m_y^\beta (\bar{y} \sin \alpha - \bar{x} \cos \alpha) + c_x^{\bar{\omega}_{ya}} \bar{z} - c_z^{\bar{\omega}_{ya}} \bar{x}, \\
 m_z^{\bar{\omega}_{xa}} &= m_z^\alpha \bar{z} + c_y^{\bar{\omega}_{xa}} \bar{x} - c_x^{\bar{\omega}_{xa}} \bar{y}, \quad m_z^{\bar{\omega}_{ya}} = 2m_{z0} \bar{z} + c_y^{\bar{\omega}_{ya}} \bar{x} - c_x^{\bar{\omega}_{ya}} \bar{y}.
 \end{aligned} \tag{2.12}$$

Выражения для интересующих нас производных по  $\bar{\omega}_{ya}$  после подстановки (2.11) в (2.12) примут вид:

$$\begin{aligned}
 c_z^{\bar{\omega}_{ya}} &= c_{z0}^{\bar{\omega}_{ya}} + c_z^\beta (\bar{y} \sin \alpha - \bar{x} \cos \alpha), \\
 m_x^{\bar{\omega}_{ya}} &= m_{x0}^{\bar{\omega}_{ya}} + m_x^\beta (\bar{y} \sin \alpha - \bar{x} \cos \alpha) + c_{z0}^{\bar{\omega}_{ya}} \bar{y} - 2c_{y0} \bar{z}^2, \\
 m_y^{\bar{\omega}_{ya}} &= m_{y0}^{\bar{\omega}_{ya}} + m_y^\beta (\bar{y} \sin \alpha - \bar{x} \cos \alpha) + 2c_{x0} \bar{z}^2 - c_z^{\bar{\omega}_{ya}} \bar{x}.
 \end{aligned} \tag{2.13}$$

Из (2.13) следует, что для расчета  $c_z^{\bar{\omega}_{ya}}, m_x^{\bar{\omega}_{ya}}, m_y^{\bar{\omega}_{ya}}$  для каждого элемента самолета необходимо определить следующие коэффициенты:

$$\left. \begin{aligned}
 &-c_{x0}, c_{y0}, m_x^\beta, m_y^\beta, c_z^\beta \text{ при } |\boldsymbol{\omega}| = 0, \\
 &-m_{x0}^{\bar{\omega}_{xa}}, m_{y0}^{\bar{\omega}_{xa}}, c_{z0}^{\bar{\omega}_{xa}} \text{ при вращении относительно центра элемента.}
 \end{aligned} \right\} \tag{2.14}$$

Назовем эти восемь параметров базовыми аэродинамическими параметрами элемента. Методики оценки зависимостей базовых параметров от угла атаки для различных элементов самолета описаны в соответствующих разделах. Кроме этого, для каждого элемента должен быть задан радиус-вектор его условного центра в связанной с самолетом системе координат.

Можно отметить, что полученные результаты для элемента модели самолета применимы и к модели самолета в целом.

Формулы пересчета значений аэродинамических коэффициентов и их производных, обезразмеренных параметрами элемента, в величины, соответствующие параметрам самолета, с учетом (1.1) – (1.3) следующие:

$$c_i = c_{ei} K_S, \quad m_i = m_{ei} K_S K_l, \quad c_i^\beta = c_{ei}^\beta K_S, \quad m_i^\beta = m_{ei}^\beta K_S K_l, \quad c_i^{\bar{\omega}_{ya}} = c_{ei}^{\bar{\omega}_{ya}} K_S K_\omega / K_l,$$

$$m_i^{\bar{\omega}_{ya}} = m_{ei}^{\bar{\omega}_{ya}} K_S K_\omega, \quad \text{где } i = x, y, z; \quad K_S = S_e / S, \quad K_l = b_e / l; \quad K_\omega = 1, \quad \text{если } b_e - \text{ хорда,} \\ K_\omega = 1/2, \quad \text{если } b_e - \text{ полуразмах.}$$

При оценках аэродинамических параметров некоторых элементов самолета они могут быть приближенно рассмотрены как несущие поверхности малого или умеренного удлинения  $\lambda$ , обтекаемые под малым углом атаки. В [3] приведены выражения для производных подъемной силы и продольного момента крыла для двух предельных случаев  $\lambda \rightarrow 0$  и  $\lambda = \infty$ . Эти выражения для  $\bar{x} = 0.5$  представлены ниже в таблице, они могут быть использованы для оценок производных подъемной силы и продольного момента элемента при фактических значениях удлинения.

$\lambda = \infty$	$\lambda \rightarrow 0$
$c_y^\alpha = 2\pi$	$c_y^\alpha = \pi\lambda/2$
$c_y^{\bar{\omega}_z} = \pi/2$	$c_y^{\bar{\omega}_z} = \pi\lambda/4$
$m_z^\alpha = \pi/2$	$m_z^\alpha = \pi\lambda/4$

$m_z^{\bar{\omega}_z} = 0$	$m_z^{\bar{\omega}_z} = -\pi\lambda/8$
----------------------------	--

Итак, задача состоит в том, чтобы для каждого элемента модели самолета по соотношениям (2.13) оценить производные  $c_z^{\bar{\omega}_{ya}}, m_x^{\bar{\omega}_{ya}}, m_y^{\bar{\omega}_{ya}}$ , которые, в свою очередь, определяются базовыми параметрами (2.14). Эти базовые параметры (2.14), по возможности, находятся из эксперимента, с учетом интерференции отдельного элемента с полной аэродинамической компоновкой модели, или, если экспериментальные данные отсутствуют, расчетным путем (без учета интерференции). Затем производные  $c_z^{\bar{\omega}_{ya}}, m_x^{\bar{\omega}_{ya}}, m_y^{\bar{\omega}_{ya}}$  для каждого из элементов модели самолета (крыло, фюзеляж, ГО, ВО, мотогондолы) суммируются, и по последним двум соотношениям в (1.7) находятся производные для данной модели ЛА:  $c_z^{\bar{\omega}_x}, c_z^{\bar{\omega}_y}, m_x^{\bar{\omega}_x}, m_x^{\bar{\omega}_y}, m_y^{\bar{\omega}_x}, m_y^{\bar{\omega}_y}$ .

### 3. Аэродинамические параметры крыла

За центр крыла примем точку  $x_{\text{КР}} = x_A, y_{\text{КР}} = y_A, z_{\text{КР}} = 0$ , где  $x_A$  и  $y_A$  – координаты точки, лежащей на  $1/4$  средней аэродинамической хорды (САХ) крыла, в связанной с самолетом системе координат. В [5] для крыла достаточно большого удлинения в приближении гипотезы плоских сечений показано, что производные от моментов крена и рыскания, обусловленные соответственно нормальными и продольными распределенными силами, определяются выражениями

$$m_{x0\text{КР}}^{\bar{\omega}_x} = -8\lambda \int_0^{1/2} c_y(\alpha_{*0}, \bar{z}) \bar{b}(\bar{z}) \bar{z}^2 d\bar{z}, \quad m_{y0\text{КР}}^{\bar{\omega}_y} = -8\lambda \int_0^{1/2} c_x(\alpha_{*0}, \bar{z}) \bar{b}(\bar{z}) \bar{z}^2 d\bar{z}, \quad (3.1)$$

где  $\alpha_{*0} = \alpha + \alpha_{\psi} + \alpha_i$  – местный угол атаки,  $\alpha$  – угол атаки крыла,  $\alpha_{\psi}$  – угол геометрической крутки,  $\alpha_i$  – угла индуктивного скоса.

Распределение коэффициента подъёмной силы по размаху при различных углах атаки может быть определено по результатам выполненных ранее в ЦАГИ измерений распределения давления на изолированных крыльях различной стреловидности. Результаты этих измерений сведены в базу данных, которая включает в себя данные для ряда изолированных крыльев.

Следует иметь в виду, что распределение коэффициента подъёмной силы по размаху получены на крыльях конечного удлинения в зависимости от угла атаки крыла. Это означает, что наличие индуктивного скоса  $\alpha_i$  автоматически учтено и не требуется его оценка и подстановка в представленную выше формулу для  $\alpha_{*0}$ .

Удлинение крыла исследуемого ЛА может отличаться от удлинения изолированных крыльев, включенных в базы данных. Для учета этого выполняется нормировка определенной по базе данных зависимости  $c_{yБД}(\alpha, \bar{z})$  таким образом, чтобы рассчитанная по ней нормальная сила крыла была равна нормальной силе крыла исследуемой модели, оцененной экспериментально  $c_{yКР}(\alpha)$ :

$$c_y(\alpha, \bar{z}) = c_{yБД}(\alpha - \alpha_{0КР}, \bar{z}) K_{Cy}(\alpha), \quad K_{Cy}(\alpha) = c_{y0КР}(\alpha) / \left( 2 \int_0^{0.5} c_{yБД}(\alpha - \alpha_{0КР}, \bar{z}) \bar{b}(\bar{z}) d\bar{z} \right).$$

Экспериментальная оценка коэффициента нормальной силы крыла может быть получена с использованием результатов весовых испытаний полной модели на установке без вращения по формуле:

$$c_{y0КР}(\alpha) = c_{y0МОД}(\alpha) - c_{y0ФЮЗ}(\alpha) - c_{y0ГО}(\alpha), \quad (3.2)$$

где  $c_{y0\text{МОД}}(\alpha)$  – результат испытаний модели,  $c_{y0\text{ФЮЗ}}(\alpha)$  – оценка коэффициента нормальной силы фюзеляжа,  $c_{y0\text{ГО}}(\alpha)$  – коэффициент нормальной силы горизонтального оперения. Величину  $c_{y0\text{ФЮЗ}}(\alpha)$  трудно вычлениить из результатов испытаний модели, ее оценка производится расчетным путем (см. раздел 5). Значение  $c_{y0\text{ГО}}(\alpha)$  может быть определено с учетом интерференции путем проведения испытаний полной модели и модели без ГО:

$$c_{y0\text{ГО}}(\alpha) = c_{y0\text{МОД}}(\alpha) - c_{y0\text{безГО}}(\alpha), \quad (3.3)$$

где  $c_{y0\text{безГО}}(\alpha)$  – нормальная сила на модели без ГО.

Коэффициент продольной силы крыла определяется аналогично (3.2) с использованием результатов весовых испытаний полной модели:

$$c_{x0\text{КР}}(\alpha) = c_{x0\text{МОД}}(\alpha) - c_{x0\text{ФЮЗ}}(\alpha) - c_{x0\text{ГО}}(\alpha) - c_{x0\text{ВО}}(\alpha), \quad (3.4)$$

где  $c_{x0\text{МОД}}(\alpha)$  – результат испытаний модели,  $c_{x0\text{ФЮЗ}}(\alpha)$  – оценка коэффициента продольной силы фюзеляжа,  $c_{x0\text{ГО}}(\alpha)$  и  $c_{x0\text{ВО}}(\alpha)$  – коэффициенты продольных сил горизонтального и вертикального оперения. Величины  $c_{x0\text{ГО}}(\alpha)$  и  $c_{x0\text{ВО}}(\alpha)$  в (3.4) определяются с учетом интерференции путем проведения испытаний полной модели и модели без ГО и ВО, соответственно, по формулам:

$$c_{x0\text{ГО}}(\alpha) = c_{x0\text{МОД}}(\alpha) - c_{x0\text{безГО}}(\alpha), \quad c_{x0\text{ВО}}(\alpha) = c_{x0\text{МОД}}(\alpha) - c_{x0\text{безВО}}(\alpha), \quad (3.5)$$

где  $c_{x0\text{безГО}}(\alpha)$ ,  $c_{x0\text{безВО}}(\alpha)$  – коэффициенты продольной силы модели без ГО и ВО.

При вычислении  $m_{y0\text{КР}}^{\bar{\omega}_{ya}}$  по формуле (3.1) можно пренебречь зависимостью коэффициента продольной силы от координаты сечения крыла:  $c_x(\alpha, \bar{z}) = c_{x0\text{КР}}(\alpha)$ .

Производная  $m_x^\beta$  полной модели определяется в основном крылом и вертикальным оперением. Вклад остальных элементов существенно меньше. Для

нахождения  $m_{xKP}^\beta$  можно воспользоваться результатами испытаний без вращения полной модели и модели без ВО и ГО:

$$m_{xKP}^\beta(\alpha) = m_{xМОД}^\beta(\alpha) - m_{xВО}^\beta(\alpha) - m_{xГО}^\beta(\alpha) - m_{xФЮЗ}^\beta(\alpha),$$

$$m_{xВО}^\beta(\alpha) = m_{xМОД}^\beta(\alpha) - m_{xБезВО}^\beta(\alpha), \quad m_{xГО}^\beta(\alpha) = m_{xМОД}^\beta(\alpha) - m_{xБезГО}^\beta(\alpha),$$

где  $m_{xМОД}^\beta$ ,  $m_{xБезВО}^\beta$ ,  $m_{xБезГО}^\beta$  – определены по результатам испытаний полной модели, модели без ВО, модели без ГО, а  $m_{xФЮЗ}^\beta$  – расчетная оценка для фюзеляжа, к которому отнесены и мотогондолы (см. ниже). Следует отметить, что вклад  $m_{xKP}^\beta$  во вращательную производную  $m_{xKP}^{\bar{\omega}_{ya}}$  в соответствии с (2.13), как правило, не велик, так как центр крыла расположен близко к центру масс самолета и  $\bar{x}_{KP}$ ,  $\bar{y}_{KP}$  малы.

Остальные базовые аэродинамические параметры, входящие в (2.13), для крыла с умеренным углом поперечного V малы:  $m_{yKP}^\beta \approx 0$ ,  $c_{zKP}^\beta \approx 0$ ,  $c_{z0KP}^{\bar{\omega}_{ya}} \approx 0$ .

#### 4. Параметры горизонтального оперения

Оценка аэродинамических характеристик горизонтального оперения с учетом его взаимодействия с остальными элементами модели может быть проведена на основе испытаний полной модели и модели без ГО для  $c_{x0ГО}(\alpha)$  и  $c_{y0ГО}(\alpha)$  по формулам (3.3), (3.5), а для  $m_{xГО}^\beta$ ,  $m_{yГО}^\beta$ ,  $c_{zГО}^\beta(\alpha)$  по совершенно аналогичным соотношениям. При этом базовый параметр  $c_{z0ГО}^{\bar{\omega}_{ya}}$ , входящий в (2.13), как и для крыла с малым углом поперечного V, также мал:  $c_{z0ГО}^{\bar{\omega}_{ya}} \approx 0$ . Входящие в (2.13) величины  $m_{x0ГО}^{\bar{\omega}_{ya}}$ ,  $m_{y0ГО}^{\bar{\omega}_{ya}}$  определяются по формулам (3.1).

Далее расчетные оценки для ГО проводятся аналогично крылу.

## 5. Параметры вертикального оперения

Из соотношений (2.13) и того факта, что ВО, как правило, расположено на значительном удалении от центра масс самолета, следует вывод, что вклад ВО в характеристики демпфирования вращения определяется в первую очередь производными боковых силы и момента по углу скольжения  $c_{zBO}^\beta, m_{yBO}^\beta$ . Эти характеристики, а также  $c_{x0BO}, c_{y0BO}, m_{xBO}^\beta$  (две последние малы при любых  $\alpha$ ), могут быть непосредственно определены по результатам статических испытаний полной модели и модели без ВО. По результатам испытаний для ВО невозможно определить значения трех производных  $m_{x0BO}^{\bar{\omega}_y}, m_{y0BO}^{\bar{\omega}_x}, m_{z0BO}^{\bar{\omega}_x}$ , входящих в число базовых параметров (2.14), для их оценки используется следующая расчетная методика.

Для расчетной оценки сил и моментов, действующих на ВО, заменим его прямоугольной поверхностью той же площади  $S_{BO}$  и того же удлинения  $\lambda_{BO}$ . Центр прямоугольной поверхности поместим в центр средней аэродинамической хорды ВО. Для такой поверхности в таблице, представленной в разделе 2, определены производные аэродинамических коэффициентов. Чтобы пользоваться этой таблицей применительно к ВО в ней в коэффициентах необходимо заменить индексы  $\alpha$  на  $\beta$ , а  $y$  поменять на  $z$ ,  $z$  на  $y$ , при этом в соответствии с правилом знаков величинам в первых двух строках придать знак минус.



Тогда значения производных  $c_{z0BO}^{\bar{\omega}_{\alpha}}$ ,  $m_{y0BO}^{\bar{\omega}_{\alpha}}$  при малых углах атаки, когда ВО не затенено фюзеляжем, оцениваются с использованием упомянутой таблицы и формул приведения, указанных в разделе 2.

Следует отметить, что вертикальное оперение (или его часть), расположенное над фюзеляжем, с ростом угла атаки попадает в аэродинамическую тень фюзеляжа, и его демпфирующие свойства ослабевают. Для учета такого ослабления (интерференции) в расчетной методике предлагается воспользоваться коэффициентом  $K_{BO}(\alpha)$ , построенным на основе экспериментальной зависимости эффективности руля направления от угла атаки  $\Delta m_{yH}(\alpha)$ :  $K_{BO}(\alpha) = \Delta m_{yH}(\alpha) / \Delta m_{yH}(0)$ .

Для частей вертикального оперения, находящихся под фюзеляжем, можно положить  $K_{BO}=1$  при  $\alpha = 0 \div 90^\circ$ . Значения параметров  $c_{z0BO}^{\bar{\omega}_{\alpha}}$ ,  $m_{y0BO}^{\bar{\omega}_{\alpha}}$  при любых углах атаки определяются формулами:  $c_{z0BO}^{\bar{\omega}_{\alpha}}(\alpha) = c_{z0BO}^{\bar{\omega}_{\alpha}}(0)K_{BO}(\alpha)$ ,  $m_{y0BO}^{\bar{\omega}_{\alpha}}(\alpha) = m_{y0BO}^{\bar{\omega}_{\alpha}}(0)K_{BO}(\alpha)$ .

## 6. Аэродинамические параметры фюзеляжа

Для определения производных (2.13) как и в случае других элементов модели самолета, необходимо найти восемь базовых параметров (2.14). Поскольку боковая сила и путевой момент, действующие на самолет, создаются в основном фюзеляжем и ВО, то производные  $c_{z\PhiЮЗ}^{\beta}$ ,  $m_{y\PhiЮЗ}^{\beta}$  определяются на основе экспериментов с полной моделью и моделью без вертикального оперения. Как показывает опыт испытаний многих моделей гражданских самолетов классической компоновки, влияние крыла и ГО на эти производные пренебрежимо мало.

В качестве упрощенной геометрической модели фюзеляжа примем эллиптический цилиндр с закругленными торцами.

Коэффициент продольной силы фюзеляжа в связанной с моделью самолёта системе координат при любых углах атаки может быть представлен в соответствии с [16–18], в следующем виде:

$$c_{x0\text{ФЮЗ}}(\alpha) = c_{x\phi0} \cdot (S_x/S) \cos^2 \alpha, \quad (6.1)$$

где  $c_{x\phi0}$  – коэффициент сопротивления фюзеляжа при продольном обтекании ( $\alpha=0$ ), отнесенный к площади миделевого сечения фюзеляжа  $S_x$ .

Оценки коэффициента нормальной силы фюзеляжа и её производной по углу атаки можно получить исходя из того, что при малых углах атаки фюзеляж может рассматриваться как крыло малого удлинения, а при  $\alpha \approx 90^\circ$  нормальная сила равна силе сопротивления  $c_{x\phi90}$  эллиптического цилиндра, установленного поперёк потока:

$$\left. \begin{aligned} c_{y\phi} = 0, \quad c_{y\phi}^\alpha = \pi \lambda_y \cdot (S_y/S)/2, \quad \lambda_y = S_y/L_\phi^2 \quad \text{при } \alpha = 0, \\ c_{y\phi} = c_{x\phi90} \cdot S_y/S, \quad c_{y\phi}^\alpha = 0 \quad \text{при } \alpha = 90^\circ, \end{aligned} \right\} \quad (6.2)$$

где  $S_y$  – площадь проекции фюзеляжа на плоскость  $xoz$ ,  $L_\phi$  – длина фюзеляжа,  $S$  – площадь крыла. Гладкая функция, удовлетворяющая условиям (6.2), может быть представлена в следующем виде:

$$\left. \begin{aligned} c_{y0\text{ФЮЗ}}(\alpha) = A_1 \sin \alpha + A_2 \sin^2 \alpha, \\ A_1 = (\pi \lambda_y)(S_y/S)/2, \quad A_2 = (c_{x\phi90} - \pi \lambda_y/2) \cdot (S_y/S). \end{aligned} \right\} \quad (6.3)$$

Коэффициент сопротивления эллиптического цилиндра с закругленными торцами, установленного поперек потока, определяется в соответствии с [7]:

$$c_{x\phi90} = c_{x\infty}(w/h) \cdot K_{\lambda_y}(\lambda_y) \cdot K_R(\lambda_y), \quad (6.4)$$

где  $c_{x\infty}(w/h)$  – коэффициент сопротивления бесконечного эллиптического цилиндра с отношением поперечного размера к продольному размеру, равным  $w/h$ ;  $K_{\lambda_y}(\lambda_y)$  – коэффициент уменьшения сопротивления для цилиндра с удлинением  $\lambda_y$  с плоскими торцами;  $K_R(\lambda_y)$  – коэффициент уменьшения сопротивления при закруглении торцов цилиндра с удлинением  $\lambda_y$ . Значения указанных коэффициентов брались при числах Рейнольдса  $Re \sim 10^5$ , соответствующих условиям поперечного обтекания фюзеляжей моделей в аэродинамической трубе при  $V \approx 25$  м/с. Соотношения (6.1), (6.4) могут быть использованы для оценки вклада фюзеляжа в коэффициенты продольной и нормальной сил модели самолёта в целом в широком диапазоне углов атаки.

Для оценки вклада фюзеляжа в характеристики демпфирования вращения рассмотрим сначала продольное ( $\alpha=0$ ) и поперечное ( $\alpha=90^\circ$ ) обтекание фюзеляжа при нулевом скольжении внешнего набегающего потока при малых вращениях относительно связанных осей  $ox$  и  $oy$ .

При малых углах атаки фюзеляж может рассматриваться как крыло малого удлинения, и производные аэродинамических коэффициентов относительно центра фюзеляжа в первом приближении можно определить по правому столбцу таблицы представленной в разделе 2, если в ней поменять индексы:  $\alpha$  на  $\beta$ ,  $y$  на  $z$ ,  $z$  на  $y$ , а величинам  $c_z^\beta$  и  $c_z^{\bar{\omega}_y}$  придать знак минус, при этом нужно считать, что  $\lambda = \lambda_z = S_z / L_\phi^2$ ,  $S_z$  аналогично  $S_y$  в (6.2). Значения производных момента крена относительно центра фюзеляжа малы, поэтому принимается, что  $m_{x\text{ФЮЗ}}^\beta = m_{x0\text{ФЮЗ}}^{\bar{\omega}_y} = 0$ .

При углах атаки  $\alpha \approx 90^\circ$  фюзеляж может рассматриваться как эллиптический цилиндр, обтекаемый поперёк. Производная по углу скольжения коэффициента боковой силы  $c_{z\text{ФЮЗ}}^\beta(w/h)$ , действующей в сечении фюзеляжа, зависит от формы поперечного сечения, где  $w$  – размер эллипса по оси  $Oz$ ,  $h$  – по оси  $Oy$ . Эта зависимость определялась в соответствии с экспериментальными результатами [18 – 20]. Остальные коэффициенты, входящие в (2.13), при этом малы:

$$m_{x\text{ФЮЗ}}^\beta = m_{x0\text{ФЮЗ}}^{\bar{\omega}_{ya}} = m_{y\text{ФЮЗ}}^\beta = m_{y0\text{ФЮЗ}}^{\bar{\omega}_{ya}} = c_{z0\text{ФЮЗ}}^{\bar{\omega}_{ya}} = 0.$$

Для оценки шести (за исключением описанных выше  $c_{x0\text{ФЮЗ}}$  и  $c_{y0\text{ФЮЗ}}$ ) базовых параметров фюзеляжа (2.14)  $c_{z\text{ФЮЗ}}^\beta$ ,  $m_{x\text{ФЮЗ}}^\beta$ ,  $m_{y\text{ФЮЗ}}^\beta$ ,  $c_{z0\text{ФЮЗ}}^{\bar{\omega}_{ya}}$ ,  $m_{x0\text{ФЮЗ}}^{\bar{\omega}_{ya}}$ ,  $m_{y0\text{ФЮЗ}}^{\bar{\omega}_{ya}}$  при углах атаки  $0 < \alpha < 90^\circ$  можно воспользоваться сращиванием решений для  $\alpha = 0$  и  $\alpha = 90^\circ$  с помощью весовых функций, в качестве которых воспользуемся  $\cos^2 \alpha$  и  $\sin^2 \alpha$ :

$$c(\alpha) = \cos^2 \alpha \cdot c|_{\alpha=0} + \sin^2 \alpha \cdot c|_{\alpha=90^\circ}, \text{ где } c - \text{один из перечисленных выше шести}$$

базовых параметров.

Аналогичный подход может быть применен к крупным элементам самолета типа гондол двигателей.

## 7. Примеры оценок

По описанной методике были выполнены оценки вращательных производных модели пассажирского самолета с крылом умеренной стреловидности, при этом использовались результаты испытаний полной модели и модели без ВО и ГО. В приведенных ниже результатах максимально учитывались экспериментальные данные. Расчетные оценки использовались лишь для определения производных

$c_{z0}^{\bar{\omega}_{ya}}$ ,  $m_{x0}^{\bar{\omega}_{ya}}$ ,  $m_{y0}^{\bar{\omega}_{ya}}$  отдельных элементов при их вращении относительно собственного условного центра, а также для определения коэффициентов нормальной и продольной сил, действующих на фюзеляж и мотогондолы при малых  $\alpha$ . Расчетные оценки опираются на эмпирические данные и результаты расчетных исследований более высокого уровня сложности, представленные в библиографии.

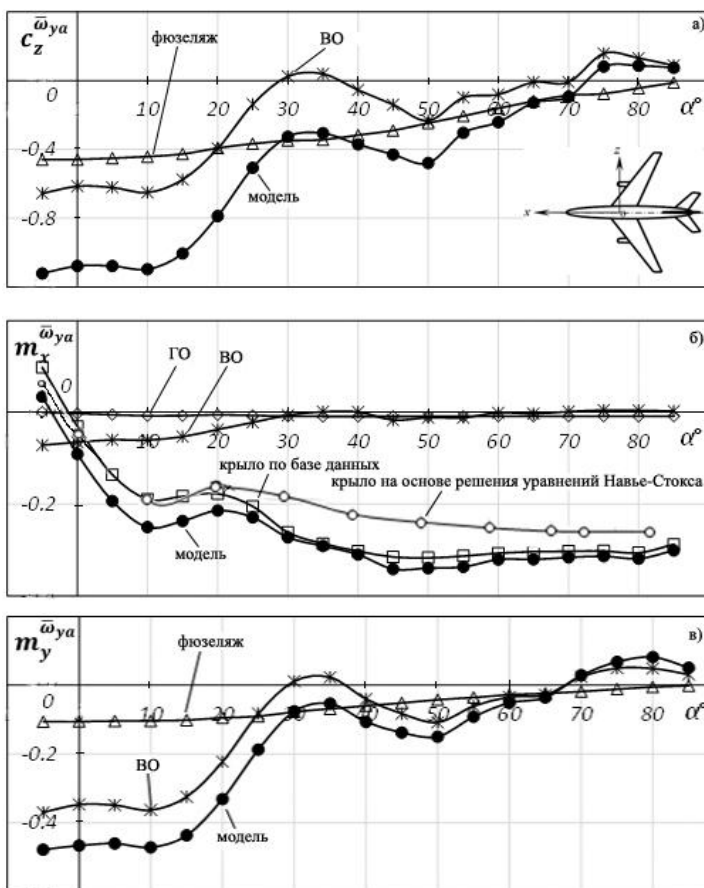


Рис. 1. Вращательные производные по компоненте  $\bar{\omega}_{ya}$  безразмерной угловой скорости в скоростной системе координат для элементов модели

На рис. 1 приведены рассчитанные по формулам (2.13) производные по вертикальной компоненте угловой скорости в скоростной системе координат коэффициентов боковой силы (рис. 1,а), момента крена (рис. 1,б), и путевого момента (рис. 1,в), действующих на различные элементы модели и модель в целом. Производные для модели получены суммированием производных для элементов.

Следует отметить, что производная  $m_x^{\bar{\omega}_{ya}}$  крыла, представленная на рис. 1,б, определялась на основе имеющийся базы данных для крыльев различных конфигураций. Для сравнения этих результатов с точным решением (3.1),

полученным в [5], были проведены расчеты модели этого самолета на основе решения осредненных по Рейнольдсу уравнений Навье-Стокса [21].

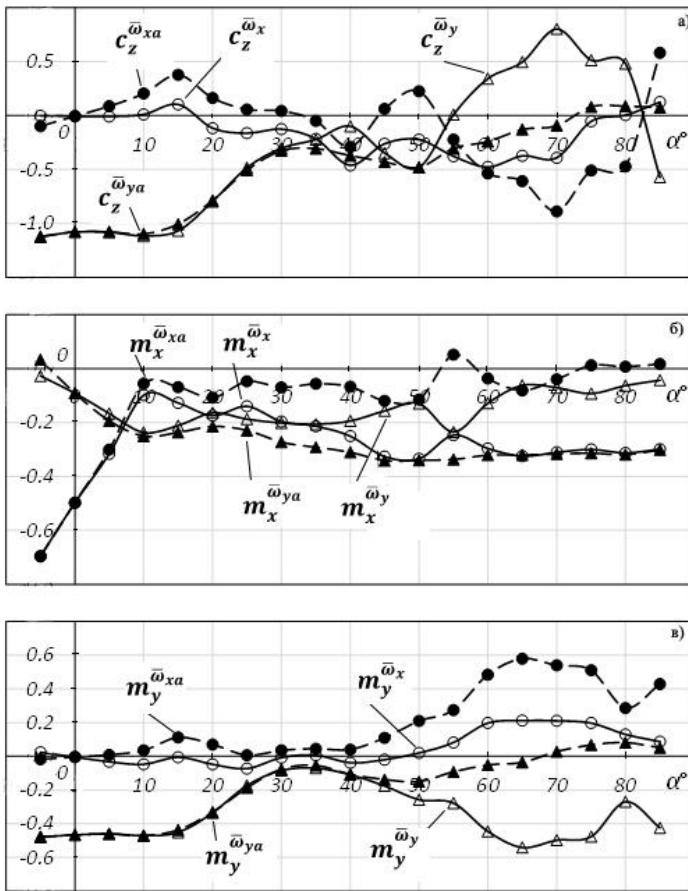


Рис. 2. Вращательные производные по компонентам безразмерной угловой скорости в скоростной и связанной системе координат для модели в целом

боковой силы, момента крена и путевого момента полной модели по компонентам угловой скорости в скоростной и связанной системах координат. Производные по  $\bar{\omega}_{xa}$  определены по результатам испытаний на вращающейся установке с использованием формулы (1.2), производные по  $\bar{\omega}_{ya}$  – по формулам (2.13), а искомые производные по  $\bar{\omega}_x$  и  $\bar{\omega}_y$  рассчитаны по формулам (1.7).

Из рис. 1,б можно видеть, что результаты, полученные по базе данных и на основе указанных расчетов, до углов атаки  $\alpha \approx 20^\circ$  достаточно близки. На больших углах атаки расчетные значения  $m_x^{\omega_{ya}}$  по абсолютной величине заметно ниже полученных на основе базы данных, хотя для приближенных оценок эти результаты можно считать удовлетворительными.

На рис. 2 приведены производные коэффициентов

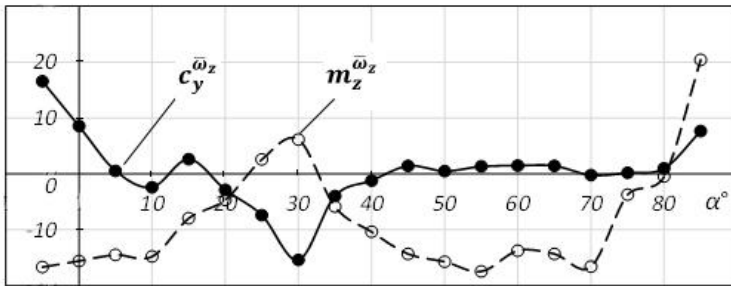


Рис. 3. Производные нормальной силы и продольного момента по компоненте  $\bar{\omega}_z$  безразмерной угловой скорости в связанной системе координат

На рис. 3 приведены производные по  $\bar{\omega}_z$  коэффициентов нормальной силы и продольного момента полной модели, рассчитанные по результатам испытаний при  $\beta = \pm 20^\circ$  с

использованием формул (1.5) и (1.6).

### Заключение

Разработанная методика может быть использована для приближенной оценки вращательных производных компонент сил и моментов, действующих на модель летательного аппарата, в широком диапазоне углов атаки.

### Библиографический список

1. Микеладзе В.Г. Авиация общего назначения. Рекомендации для конструкторов. – М.: Изд-во ЦАГИ, 1996. - 299 с.
2. Долженко Н.Н. Оценка вращательных производных моделей самолётов на закритических углах атаки. Сер. Труды Центрального аэрогидродинамического института им. Н.Е. Жуковского. Вып. 8820. – М.: Издательский отдел ЦАГИ, 1968. С. 1-12.
3. Белоцерковский С.М., Скрипач Б.К., Табачников В.Г. Крыло в нестационарном потоке газа. - М.: Наука, 1971. - 768 с.

4. Захаров М.А. Исследование условий измерения вращательных и нестационарных производных бокового движения летательных аппаратов // Труды МАИ. 2004. № 15. URL: <http://trudymai.ru/published.php?ID=34236>
5. Головкин М.А. Соотношения для вращательных производных от коэффициентов моментов крена и рысканья крыла // Труды МАИ. 2012. № 55. URL: <http://trudymai.ru/published.php?ID=30020>
6. Жук А.Н., Колинко К.А., Храбров А.Н. Исследование нестационарных аэродинамических производных треугольного крыла на установке плоско параллельных колебаний // Ученые записки ЦАГИ. 2005. Т. XXXVI. № 1 - 2. С. 9 - 16.
7. Виноградов Ю.А., Жук А.Н., Колинко К.А., Миатов О.Л., Храбров А.Н. Установившееся вращение модели самолета в аэродинамической трубе относительно оси, наклоненной к вектору скорости набегающего потока // Ученые записки ЦАГИ. 2003. Т. XXXIV. № 1-2, С. 89 - 96.
8. Виноградов Ю.А., Жук А.Н., Колинко К.А., Миатов О.Л., Храбров А.Н. К вопросу о разделении нестационарных и вращательных аэродинамических производных по результатам динамических испытаний // Ученые записки ЦАГИ. 2003. Т. XXXIV. № 3-4. С. 84 - 90.
9. Храбров А.Н. Оценка вращательных производных крыла большого удлинения при начале отрыва потока для натуральных чисел Рейнольдса // Ученые записки ЦАГИ. 2007. Т. XXXVIII. № 3-4. С. 128 - 134.
10. Головатюк Г.И., Тетерюков Я.И. Вихревая система моделим фюзеляжа на закритических углах атаки // Ученые записки ЦАГИ. 1971. Т. II. № 5. С. 112 - 115.



11. Головатюк Г.И., Тетерюков Я.И. Спектры обтекания модели комбинации фюзеляж-крыло на закритических углах атаки // Ученые записки ЦАГИ. 1973. Т. IV. № 1. С. 93 – 107.
12. Головкин М.А., Горбань В.П., Симусева Е.В., Стратонович А.Н. Обтекание прямого крыла при стационарных и квазистационарных внешних условиях // Ученые записки ЦАГИ. 1987. Т. XVIII. № 3. С. 1 – 12.
13. Захаров С.Б., Зубцов А.В. Экспериментальные исследования отрывного обтекания треугольного крыла малого удлинения // Ученые записки ЦАГИ. 1988. Т. XIX. № 1. С. 8 – 12.
14. Гоман М.Г., Задорожний А.И., Храбров А.Н. Несимметричное разрушение вихрей и аэродинамический гистерезис при обтекании крыла малого удлинения с фюзеляжем // Ученые записки ЦАГИ. 1988. Т. XIX, № 1. С. 1 – 7.
15. Долженко Н.Н. Устранение погрешностей в коэффициентах аэродинамических сил и моментов, полученных методом установившегося вращения // Ученые записки ЦАГИ. 1987. Т. XVIII. № 1. С. 1 – 8.
16. Краснов Н.Ф. Аэродинамика в вопросах и задачах. – М.: Высшая школа, 1985. - 759 с.
17. Петров К.П. Аэродинамика тел простейших форм. – М.: Факториал, 1998. - 432 с.
18. Девнин С.И. Аэрогидродинамический расчет плохообтекаемых судовых конструкций. – Л.: Судостроение, 1967. - 225 с.
19. Wiland E. Unsteady Aerodynamics of Stationary Elliptic Cylinders in Subcritical Flow, The University of Strathclyde, 1965, 72 p.

20. Hoerner S.F., Borst H.V. Fluid-Dynamic Lift, Hoerner Fluid Dynamics, Vancouver, WA 98665, 1975, 507 p.

21. Махнев М.С., Павленко О.В. Численное исследование обтекания пассажирского самолета на больших углах атаки // Материалы XVII международной школы-семинара «Модели и методы аэродинамики», Евпатория, 4–11 июня 2017. 112 с.